

بهینه‌سازی هندسه استاتور ماشین‌های با آهنربای سطحی با هدف کاهش گشتاور دندانه

محمد رضا علیزاده پهلوانی و وحید زمانی فرادنیه

اعمال شده بر روی هندسه استاتور شامل روش‌های مورب کردن شیارهای استاتور^۱ [۱] تا [۴]، استفاده از شیارهای مجازی روی دندانه‌های استاتور^۲ [۲] و [۴] تا [۷]، بهینه‌سازی ابعاد شیارها [۱]، [۴] و [۸] و زوچ کردن دندانه‌ها^۳ [۹] می‌باشد. برای بهینه‌سازی ساختار رتور روش‌هایی همچون مورب کردن آهنربا [۷]، استفاده از آهنربایی چندتکه [۵]، بهینه‌سازی ابعاد آهنربا [۱] تا [۳] و [۵]، تغییر شکل آهنربا [۹] و تغییر در چیدمان آهنرباها [۱۰] و [۱۱] ارائه شده است. از آنجایی که که مدل سازی آهنرباها در هندسه استاتور پیچیده‌تر از لحاظ نمودن تغییرات ساختار رتور می‌باشد، در سهم کمتری از مقالات به بررسی مستقیم استفاده شده است. برای استاتور در کاهش گشتاور دندانه پرداخته شده است.

در روش شیارهای مجازی، موقعیت و هندسه شیارها به گونه‌ای تعیین می‌شود که هارمونیک‌های مرتبه پایین گشتاور دندانه ناشی از شیار مجازی باعث حذف یا کاهش هارمونیک‌های مرتبه پایین شیارهای واقعی شوند [۱۲]. اساس این روش حذف یا کاهش هارمونیک‌های مرتبه پایین می‌باشد.

زوج کردن دندانه‌ها روش دیگر در طراحی استاتور به منظور کاهش گشتاور دندانه است. اصول این روش برای کاهش گشتاور دندانه مانند روش ایجاد شیار مجازی می‌باشد با این تفاوت که در روش زوچ کردن دندانه‌ها همه شیارهای استاتور، شیار واقعی هستند که درون آنها سیم پیچ آرمیچر قرار می‌گیرد.

اساس کاهش گشتاور دندانه با مورب کردن شیار استاتور حذف یا کاهش همه هارمونیک‌ها است. اگرچه مورب کردن شیار استاتور یا قطب رotor یکی از روش‌های بسیار مؤثر در کاهش گشتاور دندانه می‌باشد، ولی این روش فرایند تولید موتور را پیچیده‌تر و هزینه آن را بالا می‌برد. مورب کردن شیار استاتور تعداد دور مؤثر سیم پیچی را کاهش و طول رسانای هر شیار و مقاومت معادل آن را افزایش می‌دهد [۱۳].

در این مقاله به بررسی کارایی روش‌های استفاده از شیار مجازی روی دندانه‌های استاتور، زوچ کردن دندانه‌ها و مورب کردن شیارهای استاتور در کاهش گشتاور دندانه با استفاده از یک مدل تحلیلی پرداخته شده است. به این منظور با حل روابط لاپلاس یک مدل تحلیلی فراهم شده است. مزیت این مدل تحلیلی نسبت به مدل‌های عددی مانند (مدل اجزای محدود^۴ (FEA)) سرعت بالای آن است که استفاده از این مدل را در پاسخ‌های کاندیدا دارد ساده و آسان می‌نماید. اگرچه مدل تحلیلی ارائه شده در برگیرنده چند تکرار محاسبات است ولی هنوز محاسبات آن نسبت به مدل‌های تحلیلی ارائه شده برای ماشین‌های با آهنربای سطحی

چکیده: در این مقاله یک روش تحلیلی برای موتورهای آهنربای سطحی شیاردار ارائه شده و از این مدل برای بررسی و بهینه‌سازی روش‌های کاهش گشتاور دندانه مبتنی بر تغییرات در هندسه استاتور استفاده شده است. مدل ارائه شده توانایی در نظر گرفتن اثر شیارهای استاتور در اعوجاج مؤلفه‌های چگالی شار فاصله هوایی را دارد. روش‌های ایجاد شیار مجازی، زوچ کردن دندانه‌ها و مورب کردن شیار استاتور به منظور بهینه‌سازی هندسه استاتور مورد مطالعه و بررسی قرار گرفته‌اند. برای به دست آوردن پارامترهای بهینه استاتور در هر یک از روش‌ها از الگوریتم جستجوی مستقیم استفاده شده است. برای محاسبه گشتاور دندانه از رابطه تنسور ماکسول استفاده گردیده، در هر روش نتایج به دست آمده از روش تحلیلی با روش المان محدود تائید شده و در نهایت مقایسه‌ای بین روش‌های ارائه شده انجام شده است.

کلیدواژه: شیار مجازی، زوچ دندانه‌ها، گشتاور دندانه، مورب کردن شیار استاتور.

۱- مقدمه

اگرچه ماشین‌های آهنربایی به دلیل امتیازهایی همچون چگالی گشتاور بالا، ساختار بدون جاروبک، کنترل ساده، ضریب توان مناسب و بازدهی بالا دارای برتری‌هایی نسبت به موتورهای القایی می‌باشد، ولی وجود ضربان گشتاور بالا در این ماشین‌ها از معایب آنها بر شمرده می‌شود. ضربان گشتاور، ایجاد تنفس‌های مکانیکی، ضربان سرعت و سر و صدا را در پی خواهد داشت. در ماشین‌های آهنربایی یکی از مؤلفه‌های اصلی ضربان گشتاور، گشتاور دندانه^۵ می‌باشد. در واقع گشتاور دندانه از اثر متقابل بین آهنرباهای رotor و دندانه‌های استاتور حاصل می‌شود. گشتاور دندانه به دلیل تغییرات انرژی در فاصله هوایی با تغییر موقعیت رotor بدون در نظر گرفتن اثر میدان مغناطیسی ناشی از جریان استاتور به وجود می‌آید [۱]. تاکنون روش‌های طراحی بهینه متوسطی برای کاهش گشتاور دندانه معرفی شده‌اند. چون گشتاور دندانه از تقابل شیارهای استاتور و آهنربای رotor حاصل می‌شود بنابراین مقدار آن، هم به پارامترهای رotor و هم به ایجاد تغییراتی در هندسه رotor و استاتور امکان‌پذیر است. در روش‌های ارائه شده برای کاهش گشتاور دندانه، بهینه‌نمودن ساختار هندسی رotor یا استاتور مورد نظر و استفاده بوده است. روش‌های بازنگری شد.

این مقاله در تاریخ ۱۱ بهمن ماه ۱۳۹۳ دریافت و در تاریخ ۲ تیر ماه ۱۳۹۴ بازنگری شد.

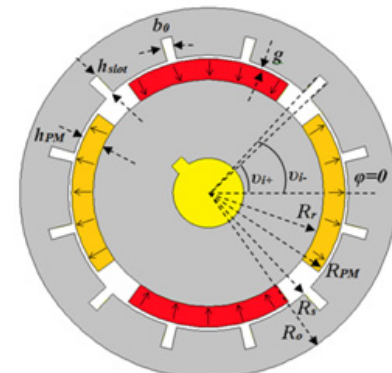
محمد رضا علیزاده پهلوانی، گروه مهندسی برق، دانشگاه مالک اشتر، تهران، (email: mr_alizadehp@just.ac.ir)
وحید زمانی فرادنیه، گروه مهندسی برق، دانشگاه صنعتی مالک اشتر، تهران، (email: vahidzamani87@yahoo.com)

1. Cogging Torque

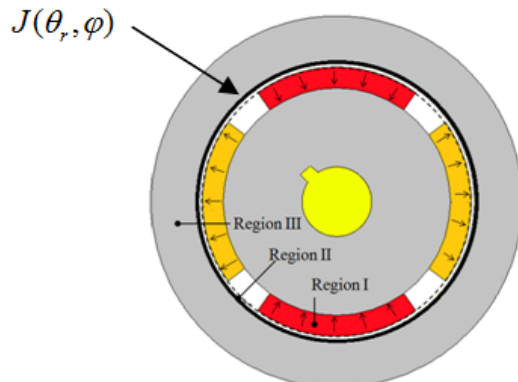
2. Skewing
3. Dummy Slots
4. Teeth Pairing
5. Finite Element Analysis

جدول ۱: اطلاعات ماشین.

مقدار	نماد	پارامترهای ماشین
۲	P	تعداد زوج قطب
۱۲	Q_s	تعداد شیار استاتور
۲۴.۵ mm	R_s	شعاع روتور
۴۰ mm	R_o	شعاع خارجی استاتور
۰.۷۵ mm	g	فاصله هوایی
۰.۳۸ T	b_r	پسماند چگالی شار آهن ربا
۱	μ_r	نفوذپذیری آهن ربا
۲۹ mm	R_m	ارتفاع آهن ربا
۴۰ mm	L_{stk}	طول محوری ماشین
۵ mm	h_s	ارتفاع شیار استاتور
۰.۸	α	طول نسبی کمان آهن ربا



(الف)



(ب)

شکل ۱: (الف) ماشین شیاردار با آهن ربا سطحی و (ب) ماشین بدون شیار با اعمال جریان های سطحی معادل.

- حل مسئله برای ماشین بدون شیار انجام می شود و برای در نظر گرفتن اثر شیارهای واقعی و مجازی، اثر زوج نمودن شیارها و مورب کردن آنها از یک توزیع جریان های سطحی مجازی معادل در مرز هوا و دندانه های استاتور استفاده شده است.
- توزيع جریان های سطحی مجازی معادل در یک الگوریتم تکراری محاسبه می شود.
- آهن ربای موتور با الگوی مغناطیس شوندگی شعاعی است. در شکل ۱-الف ساختار ماشین در نظر گرفته شده و متغیرهای استفاده شده نشان داده و این متغیرها در پیوست نیز تعریف شده اند. به جای حل لاپلاس در فاصله هوایی شیاردار می توان از حل رابطه لاپلاس در یک ماشین بدون شیار استفاده نمود که اثر حذف شیارها به صورت یک جریان سطحی معادل بر روی شعاع داخلی استاتور در نظر گرفته شده است (شکل ۱-ب) [۱۴]. در این شکل تابع $J(\theta_r, \phi)$ برای لحاظ نمودن اثر دندانه های استاتور در نظر گرفته شده است. روش به دست آوردن این تابع و توجیه استفاده از آن در بخش ۲-۲ آورده خواهد شد. نواحی در نظر گرفته شده برای حل رابطه لاپلاس و پواسون در شکل ۱-ب به صورت (۱) و شرایط مرزی مسئله به صورت (۲) می باشند و پارامترهای ماشین مورد مطالعه در جدول ۱ آورده شده است

$$\begin{aligned} R_r < R < R_{PM}, & \text{ region } 1, PM \\ R_{PM} < R < R_s, & \text{ region } 2, \text{air gap} \\ R_s < R < R_o, & \text{ region } 3, \text{stator yoke} \end{aligned} \quad (1)$$

$$\begin{aligned} \frac{\partial A_{III}}{\partial \phi} \Big|_{R=R} &= 0, \quad \frac{\partial A_I}{\partial r} \Big|_{R=R_r} = 0, \\ \frac{\partial A_{III}}{\partial \phi} \Big|_{R=R_s} &= \frac{\partial A_{II}}{\partial \phi} \Big|_{R=R_s}, \quad \frac{\partial A_{II}}{\partial r} \Big|_{R=R_s} = \mu J(\theta_r, \phi) \quad (2) \\ \frac{\partial A_{II}}{\partial \phi} \Big|_{R=R_{PM}} &= \frac{\partial A_I}{\partial \phi} \Big|_{R=R_{PM}}, \quad \frac{\partial A_{II}}{\partial r} \Big|_{R=R_{PM}} = \frac{\partial A_I}{\partial r} \Big|_{R=R_{PM}} \end{aligned}$$

روابط پواسون و لاپلاس حاکم بر مسئله در (۳) آورده شده اند

$$\nabla^r A_I(r, \phi, \theta_r) = -\nabla \times M(\phi, \theta_r) \quad (3)$$

$$\nabla^r A_{II}(r, \phi, \theta_r) = 0$$

در (۳)، M تابع مغناطیش آهن رهای سطحی است که توزیع آن در شکل ۲ و سری فوریه آن در (۴) آورده شده است

همانند نگاشت همنوا و حل زیردامنه ۳ کمتر بوده و نیاز به زمان پردازش کمی دارد. مدل تحلیلی ارائه شده دارای توانایی مدل نمودن اثر شیارها می باشد. در این روش تحلیلی برای پیش بینی گشتاور دندانه از رابطه تنفس ماسکول استفاده شده است.

ابتدا یک مدل تحلیلی برای ماشین آهن ربای سطحی ارائه می شود و سپس مدل تحلیلی برای ماشین آهن ربای سطحی با شیار مجازی، زوج کردن دندانه ها و شیارهای استاتور مورب شده توسعه داده می شود. با استفاده از مدل های ارائه شده به بهینه سازی هر کدام از روش ها اقدام خواهد شد. در نهایت پاسخ های به دست آمده توسط روش اجزای محدود تأیید می گردند و یک مقایسه میان کارایی روش های ارائه شده انجام می پذیرد.

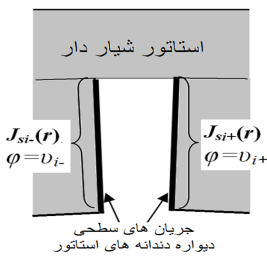
۲- مدل تحلیلی ارائه شده

۱-۲ فرضیات و ویژگی های مسئله

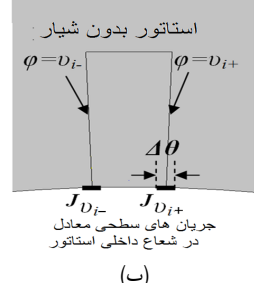
در مدل تحلیلی ارائه شده برای ماشین آهن ربای سطحی فرض های زیر در نظر گرفته شده اند:

- از اشباع مغناطیسی چشم پوشی می شود.
- از حل رابطه پواسون و لاپلاس برای یافتن چگالی شار فاصله هوایی استفاده شده است.
- تقارن دو بعدی بر مسئله حاکم بوده و آهن ربای موتور با الگوی مغناطیس شوندگی شعاعی است.

- Conformal Mapping Method
- Subdomain Analysis



(الف)



(ب)

شکل ۳: (الف) استاتور شیاردار و جریان‌های سطحی و (ب) جریان‌های سطحی معادل و جایگزینی فاصله هوایی شیاردار به فاصله هوایی یکنواخت.

بیشتر مسئله می‌توان مطابق شکل ۳ جریان‌های تزریقی به دیواره دندانه‌های استاتور را به سطح داخلی استاتور منتقل نمود. جریان‌های انتقالی به شعاع داخلی استاتور دارای پهنه‌ای $\Delta\theta$ بوده و درست در زیر دیواره شیارهای استاتور قرار دارند.

جریان‌های تزریقی بر دیواره شیارها و جریان منتقل شده به شعاع داخلی استاتور باید چگالی شار یکسانی را در فاصله هوایی زیر شیارها ایجاد نمایند. به دلیل آن که این جریان‌های سطحی تنها در چگالی شار زیر شیارها اثرگذارند، طبق قانون آمپر باید در هر نقطه فاصله هوایی با شعاع r در زیر شیارها، (۷) برقرار باشد

$$\frac{\mu_r}{2\pi} \int_{R_s}^{R_s+h_{slot}} \frac{J_s(r, v_i, \theta_r)}{(x-r)} dx = \frac{\mu_r J_{vi}(\theta_r) R_s \Delta\theta}{2\pi(R_s - r)} \quad (7)$$

مورد نیاز در (۷) به کمک (۶) به صورت (۸) مشخص می‌شود که در آن علامت‌های مختلف به دلیل جهت‌های متفاوت بردار عمود بر سطح دیواره‌های چپ و راست یک شیار می‌باشند

$$J_{si\pm}(\theta_r) = \pm \frac{B_{rII}(r, v_{i\pm}, \theta_r)}{\mu_r} \quad (8)$$

که در آن v_{i-} و v_{i+} (شکل ۳) زوایای دیواره‌های چپ و راست i امین شیار استاتور و $B_{rIII}(r, v_i, \theta_r)$ مؤلفه شعاعی چگالی شار استاتور در دیواره دندانه با زاویه v_i است در حالی که رتور در موقعیت θ_r قرار دارد. زوایای دیواره دندانه در (۹) آورده شده است

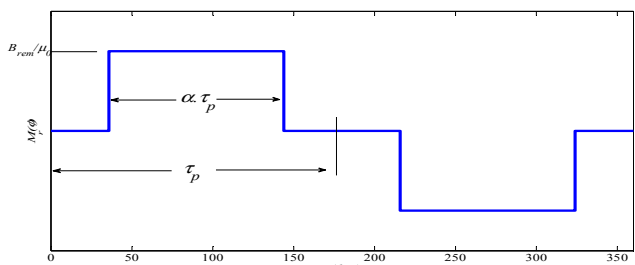
$$v_{i+} = \frac{(2i-1)\pi}{Q_s} - \frac{b}{2R_s} \quad (9)$$

$$v_{i-} = \frac{(2i-1)\pi}{Q_s} + \frac{b}{2R_s} , \quad i = 1, 2, \dots, Q_s$$

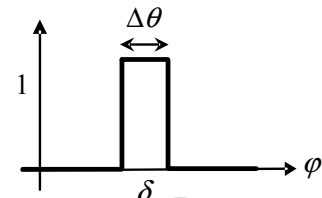
با ساده‌سازی (۷)، جریان‌های سطحی مجازی معادل ظاهرشده در شرایط مرزی (۲)، $J(\theta_r, \phi)$ ، به صورت (۱۰) مشخص می‌شود

$$J(\theta_r, \phi) = \sum_{i=1}^{Q_s} [J_{vi+}(\theta_r) U(v_{i+}) + J_{vi-}(\theta_r) U(v_{i-})] \quad (10)$$

که در آن تابع $U(\delta)$ یک تابع پالس با دامنه واحد و پهنه‌ای $\Delta\theta$ و مرکز δ می‌باشد و در شکل ۴ نشان داده شده است. به منظور در نظر گرفتن



شکل ۲: توزیع مؤلفه شعاعی تابع مغناطیش آهنربایها.

شکل ۴: تابع پالس $U(\delta)$.

$$M_r(r, \phi, \theta_r) = \sum_{n=1, 3, \dots}^{\infty} M_n \cos(np(\phi - \theta_r)) \quad (4)$$

$$M_n = \frac{4B_{rem}}{\mu_r n \pi} \sin \frac{n\pi\alpha}{2} \quad (5)$$

۲-۲ جریان‌های سطحی معادل

طبق مفاهیم الکترومغناطیس، هر ماده فرومغناطیس قرار گرفته در یک میدان مغناطیسی را می‌توان با محیطی با نفوذپذیری ۱ و جریان‌های سطحی مدل نمود. این جریان‌های سطحی از (۵) به دست می‌آیند که در آن a_n بردار عمود بر سطح ماده فرومغناطیس است [۱۵]. از طرفی طبق تعریف بردار مغناطیش ($M = B/\mu_r - H$)، رابطه بردار شدت میدان مغناطیسی با چگالی شار ($B = \mu_r \mu_r H$) و فرض بزرگ‌بودن ضریب نفوذپذیری مواد فرومغناطیس می‌توان (۵) را به صورت (۶) بازنویسی نمود

$$J_s = M \times a_n \quad (5)$$

$$J_s = \frac{\mu_r - 1}{\mu_r \mu_r} B \times a_n \equiv \frac{B \times a_n}{\mu_r} \quad (6)$$

در استاتور ماشین آهنربایی نیز به دلیل عبور چگالی شار از دندانه‌ها جریان‌های سطحی بر روی دیواره دندانه‌ها تشکیل می‌شود. این جریان‌های از عبور شار از مسیر شیارها جلوگیری می‌نمایند و سبب فروافتگی در مؤلفه شعاعی چگالی شار فاصله هوایی و اعجاج مؤلفه مماسی آن می‌گردند. از آنجایی که بردار عمود بر سطح دیواره دندانه‌های استاتور در راستای ϕ است، طبق (۶) مؤلفه شعاعی چگالی شار استاتور در مقادیر جریان‌های سطحی اثرگذار است. با تزریق جریان‌هایی برابر با منفی جریان‌های سطحی دیواره شیارها در دیواره شیارها، اثر شیارها از بین رفته و استاتور شیاردار مانند یک استاتور بدون شیار رفتار می‌کند. از آنجایی که یافتن مؤلفه‌های چگالی شار در یک فاصله هوایی بدون شیار بسیار ساده‌تر از فاصله هوایی شیاردار است، می‌توان به جای حل رابطه پواسون و لاپلاس در یک فاصله هوایی شیاردار، این معادلات را در یک فاصله هوایی بدون شیار با حضور جریان‌هایی برابر با منفی جریان‌های سطحی دیواره‌های شیارها حل نمود. با کم‌نمودن چگالی شار ایجادشده توسط این جریان‌های سطحی از چگالی شار ناشی از آهنربای در ماشین بدون شیار، چگالی شار ماشین شیاردار به دست می‌آید. البته به منظور ساده‌سازی

۳-۲ روابط چگالی شار و گشتاور دندانه

با استفاده از روابط مذکور (۲) و حل (۳) با استفاده از روش جداسازی متغیرها برای ماشین آهن ریابی مؤلفه‌های شعاعی و مماسی چگالی شار فاصله هوازی به صورت (۱۲) به دست می‌آید. a_n و Y_n به ترتیب از (۱۳) تا (۱۴) به دست می‌آیند.

$$Y_n = \frac{-\mu \cdot R_s^{n+1}}{R_r^{vn} - R_s^{vn}} \quad (14)$$

همچنین مؤلفه شعاعی چگالی شار به دست آمده در آهن استاتور (ناحیه سوم) در (۱۵) آورده شده که در آن تابع $C_n(r)$ از (۱۶) به دست می‌آید

$$B_{rIII}(r, \phi, \theta_r) =$$

$$\sum_{n=1, v, \dots}^{\infty} \frac{-\mu \cdot (r^{np} - R_o^{vn} r^{-np})}{r(1 - R_o^{vn} R_s^{-vn})} npa_n \cos(np(\phi - \theta_r)) + \quad (15)$$

$$C_n(r)[J_n(\theta_r) \cos(n\phi) - J'_n(\theta_r) \sin(n\phi)]$$

$$C_n(r) = Y_n \frac{R_r^{vn} + R_s^{vn}}{R_s^{vn} - R_o^{vn}} (r^{n-1} - R_o^{vn} r^{-n-1}) \quad (16)$$

با استفاده از مؤلفه‌های چگالی شار و به کارگیری رابطه تنسور تنفس ماسکول، گشتاور دندانه به صورت (۱۷) به دست می‌آید

$$T_{cog}(\theta_r) = \frac{l_{stk} r^{v\pi}}{\mu} \int B_{rII}(r, \phi, \theta_r) \cdot B_{\phi II}(r, \phi, \theta_r) d\phi \quad (17)$$

۳- روشهای طراحی استاتور با هدف کاهش گشتاور دندانه

۳-۱ ایجاد شیار مجازی

گشتاور دندانه به موقعیت و هندسه آهن ربا و شیار استاتور وابسته است، صرف نظر از این که شیار واقعی یا مجازی باشد. منظور از ایجاد شیار مجازی، ایجاد شیار بر روی پیشانی قطب استاتور است. چون سیم پیچ آرمیچر در این شیارها قرار نمی‌گیرد، واژه مجازی به این شیارها اطلاق می‌گردد. هدف از ایجاد شیار مجازی کاهش گشتاور دندانه و در نتیجه کاهش ریپل گشتاور الکترومغناطیسی است. در شکل ۶ نمونه‌های دندانه استاتور با یک و دو شیار مجازی [۷] خواهد بود.

اگر در پیشانی قطب استاتور به تعداد N شیار مجازی ایجاد کنیم گشتاور دندانه به صورت (۱۸) خواهد بود [۷]

$$T_{cogg} = \sum_{k=1}^{\infty} T_k \sin(kQ\theta + \frac{2k\pi}{N+1}) \quad (18)$$

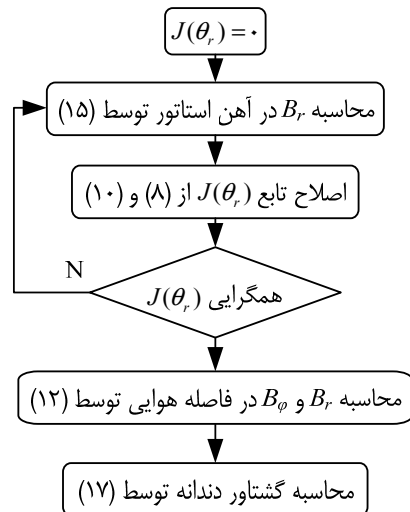
هنگامی که $N = 1$ است، (۱۸) به صورت (۱۹) ظاهر می‌شود

$$T_{cogg} = \sum_{k=1, v}^{\infty} 2T_k \sin(kQ\theta) \quad (19)$$

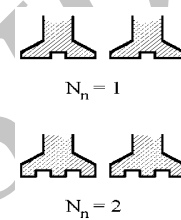
$$B_{rII} = - \sum_{n=1, v, \dots}^{\infty} \frac{\mu}{r} a_n (r^{np} + R_s^{vn} r^{-np}) np \cos(np(\phi - \theta_r)) + \sum_{n=1, v, \dots}^{\infty} Y_n (r^{n-1} + R_r^{vn} r^{-n-1}) (J_n(\theta_r) \cos(n\phi) - J'_n(\theta_r) \sin(n\phi))$$

$$B_{\phi II} = \sum_{n=1, v, \dots}^{\infty} \frac{\mu}{r} a_n (r^{np} - R_s^{vn} r^{-np}) np \sin(np(\phi - \theta_r)) + \sum_{n=1, v, \dots}^{\infty} Y_n (r^{n-1} - R_r^{vn} r^{-n-1}) (J_n(\theta_r) \sin(n\phi) + J'_n(\theta_r) \cos(n\phi))$$

$$\left\{ \begin{array}{l} a_n = \frac{M_n ((np+1)R_r^{vn} R_m^{-np+1} + (1-np)R_m^{np+1} - 2R_r^{np+1})}{2(1-(np)^v)(R_r^{vn} - R_s^{vn})}, \quad np \neq 1 \\ a_n = \frac{M_n (R_r^v [1 - Ln(\frac{R_m}{R_r})^v] - R_m^v)}{4(R_s^v - R_r^v)}, \quad np = 1 \end{array} \right. \quad (13)$$



شکل ۵: روندnamای یافتن توزیع مؤلفه‌های چگالی شار و جریان‌های سطحی معادل مجازی.



شکل ۶: نمونه استاتور با یک و دو شیار مجازی [۷].

جریان‌های سطحی معادل در شرایط مزدی (۲)، نیاز به بیان این جریان به فرم سری فوریه است که در (۱۱) آورده شده است

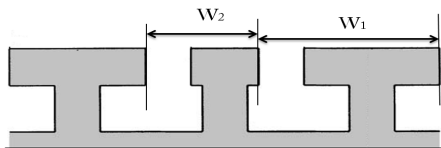
$$J(\theta_r, \phi) = \sum_{n=1, v, \dots}^{\infty} J_n(\theta_r) \sin(n\phi) + J'_n(\theta_r) \cos(n\phi)$$

$$J'_n(\theta_r) = \sum_{i=1}^{Q_v} \zeta_n [J_{vi+}(\theta_r) \cos(nv_{i+}) + J_{vi-}(\theta_r) \cos(nv_{i-})]$$

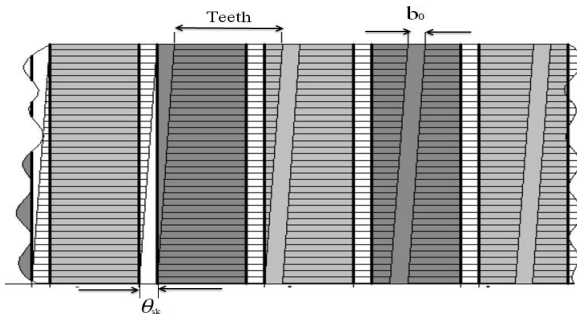
$$J_n(\theta_r) = \sum_{i=1}^{Q_v} \zeta_n [J_{vi+}(\theta_r) \sin(nv_{i+}) + J_{vi-}(\theta_r) \sin(nv_{i-})]$$

$$\zeta_n = \frac{2}{n\pi} \sin\left(\frac{np}{2}\Delta\theta\right) \quad (11)$$

به دلیل آن که پیش از حل مسئله و یافتن مؤلفه مماسی چگالی شار در استاتور امکان استفاده از (۸) برای یافتن توزیع دقیق و واقعی ($J(\theta_r, \phi)$) وجود ندارد، می‌بایست تابع جریان‌های سطحی در یک فرایند تکراری و با پیش‌فرض اولیه صفر (مطابق با روندnamای شکل ۵) به دست آیند.



شکل ۸: استاتور ماشین آهنربای سطحی با زوچ کردن دندانه‌ها.



شکل ۹: استاتور با شیارهای مورب [۱۳].

۲- زوج کردن دندانه‌ها

یکی دیگر از روش‌های طراحی استاتور برای کاهش گشتاور دندانه زوج‌کردن دندانه‌ها است. شکل ۸ استاتور ماشین آهنربای سطحی با زوج‌کردن دندانه‌ها را نشان می‌دهد که متغیر γ در شکل ۸ بر حسب درجه الکتریکی و برابر نصف اختلاف پهنه‌ای دو دندانه مجاور است ($\gamma = \frac{W_s - W_r}{2}$). در این روش دو نوع پهنه‌ای دندانه برای دندانه‌های ماشین انتخاب شده و به صورت یک در میان پهنه‌ای دندانه‌ها تغییر می‌کند. گشتاور دندانه به موقعیت و هندسه آهنربا و شیار استاتور واپسیه است. بنابراین روش کاهش گشتاور دندانه با استفاده از زوج‌کردن دندانه‌ها مشابه روش ایجاد شیار مجازی است. در روش زوج‌کردن دندانه‌ها بدون ایجاد تغییرات در گام شیار و تعداد آنها، لبه شیارها به صورت غیر یکنواخت مطابق شکل ۸ جایه‌جا می‌شود. البته جایه‌جایی‌های غیر یکنواخت برای یکی از فازها بوده ولی الگوی جایه‌جایی برای تمام فازها یکسان است. البته فاصله بین دو شیار مجاور باید به گونه‌ای انتخاب شود که گشتاور دندانه تا حد ممکن کاهش پیدا کند. برای مدل‌سازی روش زوج‌کردن دندانه‌ها تنها کافی است در مدل (۱۲) تا (۱۷)،تابع توزیع جریان‌های معادل سطحی با جایگذاری زوایای شیار به صورت (۲۲) در (۱۱) اصلاح گردید.

$$v_{i+} = \frac{(\gamma i - 1)\pi}{Q_s} - \frac{b}{\gamma R_s}, \quad v_{i-} = \frac{(\gamma i - 1)\pi}{Q_s} + \frac{b}{\gamma R_s}$$

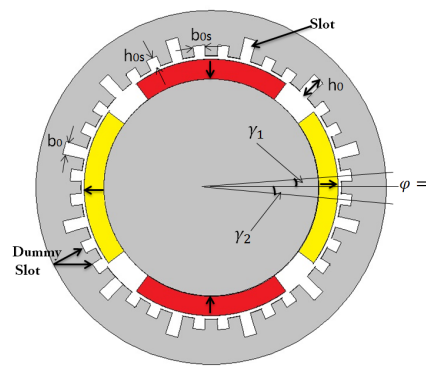
, $i = 1, 2, \dots, Q_s$

$$v_{i+} = \frac{(\gamma i - 1)\pi}{Q_s} - \frac{b}{\gamma R_s} - \gamma, \quad v_{i-} = \frac{(\gamma i - 1)\pi}{Q_s} + \frac{b}{\gamma R_s} - \gamma$$

, $i = 2, 3, \dots, Q_s$

۳-۳ مورب کردن شبیار استاتور

در شکل ۹ نمای یک استاتور با شیارهای مورب نشان داده شده است. مورب کردن شیارها در حل میدان مغناطیسی تأثیر سه بعدی دارد بنابراین برای استفاده از روش تحلیلی دو بعدی ارائه شده در بخش ۲، استاتور را در راستای پشتہ ماشین به N_s قسمت تقسیم می کنیم و پیوستگی مورب بودن شیارها در راستای پشتہ ماشین را گسته فرض می نماییم. هرچه N_s را بزرگتر انتخاب نماییم تحلیل دقیق‌تر می باشد (شکل ۹). توزیع چگالی شار به طول پشتہ ماشین بستگی ندارد و در هر قسمت به



شکل ۷: ماشین آهنربای سطحی با ۲ شیار مجازی در هر دندانه.

$$T_{cogg} = \sum_{k=1}^{\infty} T_k \sin(kQ\theta) \quad (19)$$

بنابراین مؤلفه‌های فرد گشتوار دندانه از جمله مؤلفه اصلی حذف می‌شوند ولی دامنه مؤلفه‌های زوج دو برابر می‌شوند. چون مؤلفه اول، اصلی‌ترین عامل هارمونیکی است، حذف آن باعث کاهش قابل ملاحظه‌ای در گشتوار دندانه می‌شود. بنابراین با ایجاد شیار مجازی هارمونیک‌های مرتبه بالا گشتوار دندانه کاهش یا حذف می‌شود. روابط (۱۸) و (۱۹) بیان شده در [۷] تنها برای حالتی که فاصله بین همه شیارهای مجاور (مجازی یا واقعی) یکسان باشد صادق است. در این قسمت یک روش تحلیلی برای ماشین آهنربای سطحی با شیار مجازی ارائه می‌شود و ابعاد و مکان شیار مجازی با هدف کاهش گشتوار دندانه بهینه می‌شود.

شکل ۷ ماشین آهنربای سطحی با ایجاد شیار مجازی را نشان می‌دهد. دهانه باز شیار مجازی (b_s) و عمق آن h_{sd} برابر ۲/۵ میلی‌متر در نظر گرفته شده و بقیه پارامترهای ماشین در جدول ۱ آمده است.

برای در نظر گرفتن اثر شیارهای مجازی واقعی، مکان شیارها در (۹) و توزیع جریان‌های معادل در (۱۱) به ترتیب به صورت (۲۰) و (۲۱) اصلاح می‌شوند. در (۲۰) زاویه مکان k امین شیار مجازی نسبت به وسط دندانه استاتور می‌باشد

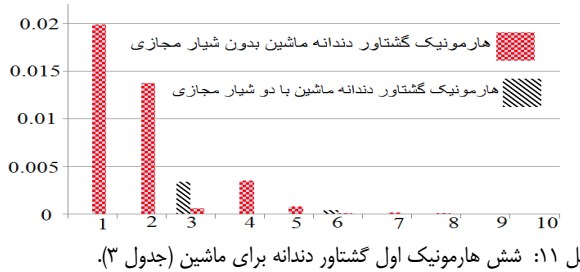
$$v_{i+} = \frac{(\gamma i - \gamma) \pi}{Q_s} - \frac{b_s}{\gamma R_s} \quad , \quad v_{i-} = \frac{(\gamma i - \gamma) \pi}{Q_s} + \frac{b_s}{\gamma R_s} \quad , \\ i = 1, 2, \dots, Q_s \quad (14) \\ v_{i+} = \frac{\gamma i \pi}{Q_s} - \frac{b_s}{\gamma R_s} + \gamma_k \quad , \quad v_{i-} = \frac{\gamma i \pi}{Q_s} + \frac{b_s}{\gamma R_s} + \gamma_k \quad , \\ i = 1, 2, \dots, Q_s - 1$$

$$J(\theta_r, \phi) = \sum_{n=1}^{\infty} J_n(\theta_r) \sin(np\phi) + J'_n(\theta_r) \cos(np\phi)$$

$$J_n'(\theta_r) = \sum_{k=1}^N \sum_{i=1}^{Q_5} \zeta_n [J_{vi+}(\theta_r) \cos(npv_{i+}) + J_{vi-}(\theta_r) \cos(npv_{i-})] \quad (2)$$

$$\begin{aligned} J_n(\theta_r) &= \\ \sum_{k=1}^N \sum_{i=1}^{\varphi_k} \zeta_n [J_{vi+}(\theta_r) \sin(npv_{i+}) + J_{vi-}(\theta_r) \sin(npv_{i-})] \\ \zeta_n &= \frac{\gamma}{n\pi} \sin\left(\frac{np}{\gamma}\Delta\theta\right) \end{aligned}$$

برای شیار واقعی و $k = N$ مربوط به N امین شیار مجازی است. وزیر چگالی شار و گشتاور دندانه برای ماشین با شیار مجازی با اصلاح وزیر چگالی جریان سطحی (۱۱) به صورت (۲۱) و جایگذاری آن در (۱۷) تا (۲۱) به دست می‌آید.



شکل ۱۱: شش هارمونیک اول گشتاور دندانه برای ماشین (جدول ۳).

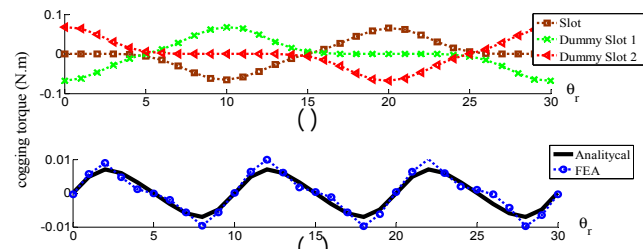
جدول ۳: مقادیر بهینه ماشین با دو شیار مجازی.

مقادیر بهینه	نماد	پارامتر
۲	N	تعداد شیار مجازی
۵ deg	γ	مکان شیار مجازی اول نسبت به وسط دندانه
-۵ deg	γ_r	مکان شیار مجازی دوم نسبت به وسط دندانه
۲/۵ mm	b	پهنای دهانه باز شیار
۲/۵ mm	b_s	پهنای دهانه باز شیار مجازی
۰/۰۰۷	T_{cogg}	بیشینه گشتاور دندانه
۰/۰۰۵۱	$T_{cogg\ rms}$	مقدار مؤثر گشتاور دندانه

دندانه حاصل از تقابل بین شیارهای واقعی استاتور با آهنربای روتور و گشتاور دندانه ناشی از تقابل شیار مجازی اول و دوم دندانه‌های استاتور با آهنربای روتور نشان داده شده‌اند. این نمودارها توسط مدل تحلیلی به دست آمدند و برایند آنها گشتاور دندانه کل در ماشین را مشخص می‌نمایند. مقدار برایند گشتاور دندانه به دست آمده از روش تحلیلی با شکل ۱۰-۱ ب مقایسه شده‌اند. همان طور که مشاهده می‌شود، ایجاد شیار مجازی باعث شده بیشینه گشتاور دندانه از ۰/۰۰۸ N.m به ۰/۰۰۷ N.m باشد یا باید.

شکل ۱۱ شش هارمونیک اول گشتاور دندانه برای ماشین بدون شیار مجازی و با دو شیار مجازی را نشان می‌دهد. همان طور که مشاهده می‌شود با ایجاد دو شیار مجازی بر روی هر دندانه استاتور اندازه هارمونیک‌های مرتبه پایین گشتاور دندانه (هارمونیک ۱ و ۲) که دامنه قابل توجهی دارند کاهش پیدا کرده و اندازه هارمونیک‌های مرتبه بالا (۳ و ۶) که دامنه کمتری دارند افزایش پیدا کرده است.

یکی از مسایل مهم در فرایند تولید ماشین‌ها سادگی ساخت ماشین می‌باشد. در یک طرح ساده باید میزان حساسیت رفتار ماشین نسبت به تغییر پارامترهای ساختاری کم باشد. در ادامه برای بررسی میزان حساسیت گشتاور دندانه در روش اعمال شیارهای مجازی، شبیه‌سازی‌های مختلفی به کمک مدل تحلیلی به دست آمده انجام شده است. در شکل ۱۲-الف گشتاور دندانه ماشین بهینه شده با شیارهای مجازی جداول ۱ و ۳ برای تغییر کوچکی در کمان آهنربای روش‌های تحلیلی و FEA به دست آمده است. همان گونه که مشاهده می‌شود اگر $\alpha = 0/8$ طول نسبی کمان آهنربای $0/82$ یا $0/78$ کمان آهنربای (به جای $\alpha = 0/8$) داشته باشد، سبب افزایش ۳ برابر بیشینه گشتاور دندانه می‌شود. همچنین در مورد استاتور ماشین بهینه اگر خطای ساخت دهانه باز شیار مجازی برابر $0/5$ میلی‌متر باشد (به جای $b_s = 2/5$ mm) یا $b_s = 3$ mm و خطای موقعیت شیار مجازی یک درجه (به جای $\gamma = 6$ deg، $\gamma = 4$ deg یا $\gamma = 5$ deg) باشد، گشتاور دندانه نسبت به حالت بهینه (شکل ۱۰-ب) به ترتیب سه و هشت برابر افزایش می‌یابد (شکل ۱۲-ب و ۱۲-ج). بنابراین عیب اصلی کاهش گشتاور دندانه با ایجاد شیار مجازی، حساسیت بالای گشتاور دندانه به پارامترهای ماشین



شکل ۱۰: نمودار گشتاور دندانه، (الف) ناشی از شیار واقعی و مجازی و (ب) برای ماشین بهینه با شیارهای مجازی (جدول ۳).

جدول ۲: بازه و گام تغییر متغیرهای طراحی.

متغیر	گام تغییرات	بازه تغییرات
γ_k	۱ deg	$[-(\frac{180}{Q_s} - 5), (\frac{180}{Q_s} - 5)]$ deg
b_r	۰/۵ mm	[۱/۵ - ۲/۵] mm
b_s	۰/۵ mm	[۱/۵ - ۲/۵] mm
N	۱	[۱ - ۳]

اندازه زاویه $\theta_{ss} = \theta_{sk}/N_s$ نسبت به قسمت‌های قبلی و بعدی جایه‌جا می‌شود و θ_{sk} زاویه انحراف شیارها است. با تقسیم طول پشته به N_s قسمت، اندازه گشتاور دندانه هر قسمت استاتور $1/N_s$ برابر گشتاور دندانه ماشین مورب‌نشده می‌شود. همچنین نمودار گشتاور دندانه هر قسمت نسبت به قسمت قبل و بعد از آن به اندازه θ_{ss} اختلاف فاز دارد. در نهایت با جمع‌نمودن گشتاور دندانه تولیدشده در تمام N_s قسمت در نظر گرفته شده، گشتاور دندانه برای ماشین با استاتور مورب‌شده به صورت (۲۳) ظاهر می‌شود. بنابراین مورب کردن شیارهای گشتاور دندانه می‌شود اگر به صورت کور نیز انجام شود باعث کاهش گشتاور دندانه می‌شود

$$T_{cog}(\theta) = \sum_{j=1,2,\dots}^{N_s} \frac{l_{stik} r^{\pi}}{\mu N_s} \int_{j-1}^{j\pi} B_r(r, \varphi, \theta) B_\varphi(r, \varphi, \theta) d\varphi \quad (23)$$

$$\theta = \theta_r + (N_s - 1)\theta_{ss}$$

۴- نتایج بهینه‌سازی

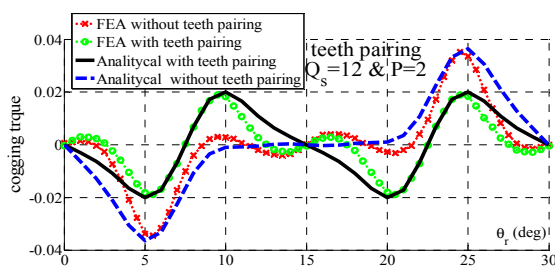
۴-۱ بهینه‌سازی هندسه شیارهای مجازی

در این بخش از روش جستجوی مستقیم برای بهینه‌سازی پارامترهای ماشین با شیارهای مجازی با هدف کاهش گشتاور دندانه استفاده شده است. متغیرهای بهینه‌سازی شامل پهنای دهانه شیار واقعی، تعداد، موقعیت و پهنای دهانه شیارهای مجازی می‌باشند و بازه تغییرات آنها در فضای جستجویی جدول ۲ آورده شده است. سایر پارامترهای ماشین که در جدول ۲ نیامده‌اند مطابق مقادیر گزارش شده در جدول ۱ می‌باشند.

نتایج پارامترهای موتور بهینه به دست آمده از جستجوی مستقیم برای ماشین با ایجاد شیار مجازی در جدول ۳ آمده و متغیرهای به کار رفته برای شیارهای مجازی در شکل ۷ معرفی شده‌اند. مقدار مؤثر گشتاور دندانه به صورت گسسته از روی نمودار گشتاور دندانه و از (۲۴) به دست می‌آید

$$T_{cog\ rms} = \sqrt{\frac{\sum_{\theta=1}^{\pi} [T_{cog}(\theta)]^2}{3}} \quad (24)$$

در شکل ۱۰ مربوط به نمودار گشتاور دندانه ماشین جدول ۳ بر حسب موقعیت روتور آورده شده است. در شکل ۱۰-الف نمودارهای گشتاور



شکل ۱۴: گشتاور دندانه برای ماشین با و بدون زوج کردن دندانه‌ها.

جدول ۴: بازه و گام تغییر متغیرهای طراحی.

متغیر	گام تغییرات	بازه تغییرات
γ	1 deg	$[-\frac{360}{Q_s} - 5, \frac{360}{Q_s} - 5]$ deg
b_r	0.5 mm	[1.5 - 3] mm
b_{rs}	0.5 mm	[1.5 - 3] mm

جدول ۵: مقادیر بهینه ماشین با زوج کردن دندانه‌ها.

مقادیر بهینه	نماد	پارامتر
۱۵ deg	γ	نصف اختلاف طول دو دندانه
۱.۵ mm	b_r	مجاور بر حسب درجه مکانیکی
۰.۰۲۳ N.m	T_{cogg}	طول دهانه باز شیار
۰.۰۱۵۲	$T_{cogg rms}$	بیشینه گشتاور دندانه بهینه شده
		مقدار مؤثر گشتاور دندانه

جدول ۶: بازه و گام تغییر متغیرهای طراحی.

متغیر	گام تغییرات	بازه تغییرات
θ_{ss}	0.5 deg	[0 - 2] deg
b_r	0.5 mm	[1.5 - 3] mm
N_s	1	[5 - 25]

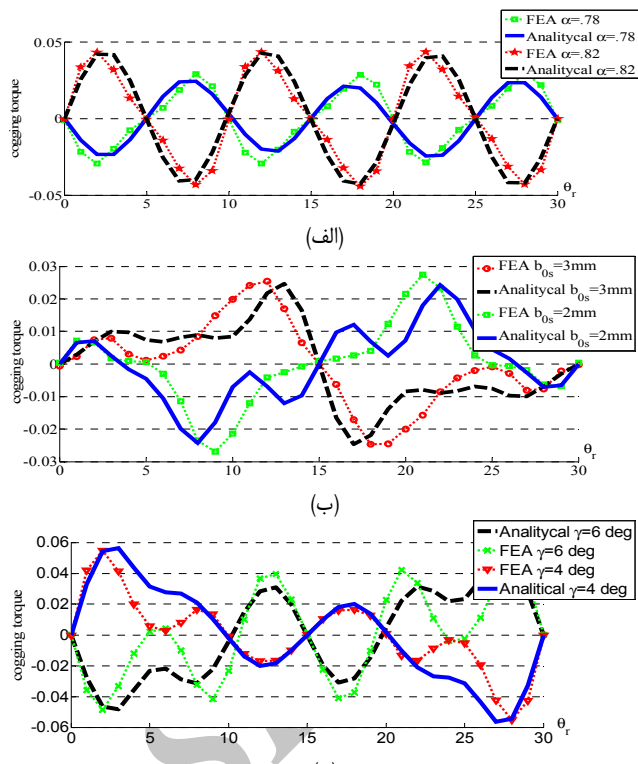
جدول ۷: مقادیر بهینه با روش مورب کردن استاتور.

مقادیر بهینه	نماد	پارامتر
۲ deg	θ_{ss}	میزان انحراف هر قسمت استاتور
۱.۵ mm	b_r	طول دهانه باز شیار
۱۵	N_s	تعداد تقسیمات استاتور
$2 \times 10^{-6} \approx 0$	T_{cogg}	بیشینه گشتاور دندانه بهینه
.	$T_{cogg rms}$	مقدار مؤثر گشتاور دندانه

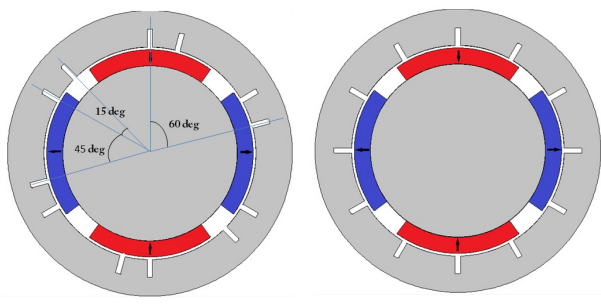
شکل ۱۴ مربوط به گشتاور دندانه برای ساختار ماشین‌های شکل ۱۳ می‌باشد. در شکل ۱۴ نمودار گشتاور دندانه به روش تحلیلی برای ماشین بدون زوج کردن دندانه‌ها و با زوج کردن دندانه‌ها آورده شده و همچنین نتایج مدل تحلیلی با FEA تأیید شده است. بیشینه گشتاور دندانه بدون زوج کردن دندانه‌ها (N.m) ۰/۰۳۶ و با زوج کردن دندانه‌ها (N.m) ۰/۰۲۳ می‌رسد.

۴-۳-بهینه‌سازی با مورب کردن شیارهای استاتور

اکنون با کمک الگوریتم جستجوی مستقیم به بهینه‌سازی پارامترهای ماشین شکل ۱ با روش مورب کردن شیارهای استاتور به منظور کاهش گشتاور دندانه پرداخته شده است. بازه تغییرات پارامترهای مورب نظر در فضای جستجو در جدول ۶ سایر پارامترهای ماشین که در جدول ۶ نیامده در جدول ۱ و نتایج بهینه پارامترهای ماشین در جدول ۷ آمده است.



شکل ۱۲: حساسیت گشتاور دندانه نسبت به (الف) کمان آهنربای، (ب) دهانه باز شیار مجازی و (ج) موقعیت شیار مجازی.



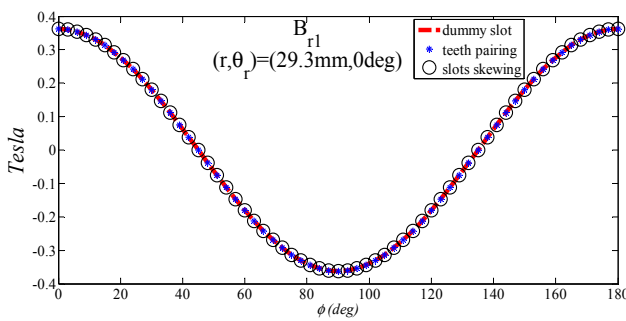
شکل ۱۳: ماشین آهنربای سطحی، (الف) بدون زوج کردن دندانه‌ها و (ب) با زوج کردن دندانه‌ها.

می‌باشد. مجدداً در نمودارهای شکل‌های ۱۲-ب و ۱۲-ج اعتبار روش تحلیلی با روش المان محدود تأیید شده است. اگرچه عدم دقت ساخت سبب افزایش بیشینه گشتاور دندانه نسبت به بهینه‌ترین حالت می‌گردد اما با این حال مقدار بیشینه گشتاور دندانه در شکل ۱۲ (برای شرایط عدم دقت ساخت) نسبت به حالتی که شیار مجازی وجود ندارد (شکل ۱۰-الف) به مقدار قابل ملاحظه‌ای کوچک‌تر است.

۴-۲-بهینه‌سازی روش زوج کردن دندانه‌ها

از روش جستجوی مستقیم برای بهینه‌سازی پارامترهای ماشین چهار قطب و دوازده شیار (شکل ۱۳-الف) با هدف کاهش گشتاور دندانه استفاده شده است. بازه تغییرات پارامترهای مورد نظر در فضای جستجو در جدول ۴ آورده شده و سایر پارامترهای ماشین که در جدول ۴ نیامده مطابق اطلاعات جدول ۱ می‌باشد.

در شکل ۱۳-ب ماشین بهینه شده با روش زوج کردن دندانه‌ها و به کارگیری الگوریتم جستجوی مستقیم نشان داده شده است. پارامترهای ماشین بهینه در جدول ۵ آورده شده است.



شکل ۱۷: نمودار هارمونیک اول چگالی شار فاصله هوایی برای ماشین آهنربای سطحی با ایجاد شیار مجازی، زوج کردن دندانه‌ها و مورب کردن شیارهای استاتور.

جدول ۸ مقایسه روش‌های بهینه‌سازی.

استاتور	بیشینه گشتاور دندانه		نوع روش
	T_i	T_e	
۲.۵ mm	۰.۰۰۷	۰.۰۸	ایجاد شیار مجازی
۱.۵ mm	۰.۰۲۳	۰.۰۳۶	زوج کردن دندانه‌ها
۱.۵ mm	2×10^{-6}	۰.۰۳۶	مورب کردن شیار استاتور

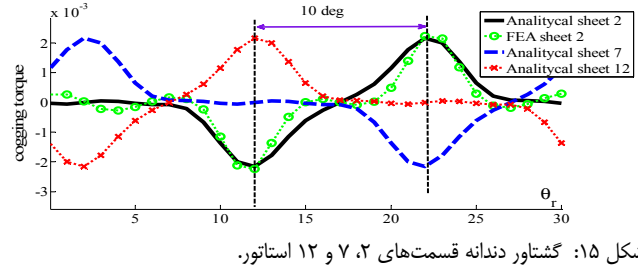
که روی هر دندانه استاتور یک شیار مجازی دارد مانند نمودار ماشین با ۲Q_s شیار با زوج کردن دندانه‌ها می‌باشد. توانایی روش کاهش گشتاور دندانه با ایجاد شیار مجازی بیشتر از کارایی روش زوج کردن دندانه‌ها است. در طرف مقابل، اساس روش مورب کردن شیار استاتور حذف تمامی هارمونیک‌های گشتاور دندانه می‌باشد و مقدار گشتاور دندانه با این روش به صفر می‌رسد.

همچنین اهمیت دقت در ساخت در روش‌های معروفی شده مهم بوده و از طرفی فرایند ساخت در روش انحراف شیارهای استاتور نسبت به فرایند پیاده‌سازی شیارهای مجازی و زوج کردن دندانه پیچیده‌تر است. همچنین روش انحراف شیارهای استاتور سبب کاهش چشمگیری در شار ماشین و چگالی توان آن به ویژه در ماشین‌های با شیار کم می‌شود.

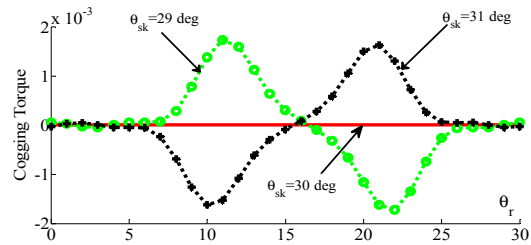
۵- تأثیر طراحی هندسه استاتور در توان خروج ماشین

توان خروجی ماشین نسبت مستقیم با هارمونیک اول ولتاژ در هارمونیک اول جریان دارد. هارمونیک اول ولتاژ نیز رابطه مستقیم با چگالی شار عبوری از فاصله هوایی دارد و بنابراین توان خروجی ماشین با نسبت هارمونیک اول جریان در هارمونیک اول چگالی شار فاصله هوایی رابطه مستقیم دارد. شکل ۱۷ نمودار هارمونیک اول چگالی شار در فاصله هوایی برای ماشین آهنربای دائم با ایجاد شیار مجازی، زوج کردن دندانه‌ها و مورب کردن شیارهای استاتور را نشان می‌دهد. همان طور که در شکل ۱۷ مشاهده می‌نمایید طراحی هندسه استاتور تأثیری در نمودار هارمونیک اول چگالی شار ندارد.

شکل، موقعیت، ساختار آهنربای روتور و طول فاصله هوایی در نمودار چگالی شار فاصله هوایی تأثیرگذار می‌باشد. بنابراین در طراحی هندسه استاتور با هدف کاهش گشتاور دندانه تغییرات توان خروجی ماشین نسبت مستقیم با تغییرات مقدار جریان عبوری از سیم‌پیچ استاتور دارد. ایجاد شیار مجازی و زوج کردن دندانه‌ها هیچ تأثیری در تعداد دور مؤثر سیم‌پیچ استاتور ندارد، بنابراین جریان ماشین تغییر نمی‌کند و در نتیجه توان خروجی ماشین آهنربای سطحی با ایجاد شیار مجازی و زوج کردن دندانه‌ها تغییر نمی‌نماید. مورب کردن شیار استاتور تعداد دور مؤثر سیم‌پیچی را کاهش و طول رسانای هر شیار و مقاومت معادل آن را



شکل ۱۵: گشتاور دندانه قسمت‌های ۲، ۷ و ۱۲ استاتور.



شکل ۱۶: گشتاور دندانه برای زاویه مختلف برای انحراف شیارها.

همان گونه که گفته شد، N_s تعداد تقسیمات استاتور در راستای محوری است و θ_{ss} زاویه انحرافی هر شیار استاتور نسبت به شیار بعدی می‌باشد. همان طور که مشاهده می‌شود مورب کردن شیارهای استاتور، مؤثرترین روش در کاهش گشتاور دندانه می‌باشد و اساس این روش حذف تمام هارمونیک‌های گشتاور دندانه است.

با توجه به جدول ۷ بهینه گشتاور دندانه برای حالتی است که زاویه انحراف استاتور برابر با گام شیار و ۳۰ درجه باشد. در شکل ۱۵ گشتاور دندانه مربوط به قسمت شماره ۲ از ۱۵ قسمت در نظر گرفته شده در استاتور آورده شده است. فاصله میان کمینه و بیشینه این نمودار برابر ۱۰ درجه ممکنیکی است. نمودار گشتاور دندانه هر قسمت استاتور با گشتاور دندانه قسمت مجاور آن به اندازه ۲ درجه جایگزینی دارد. بنابراین هارمونیک‌های گشتاور دندانه هر قسمت استاتور توسط هارمونیک‌های دو قسمت دیگر (پنجمین قسمت بعد و قبل از خود) حذف می‌شود. برای مثال در شکل ۱۵ نمودار گشتاور دندانه قسمت ۲ توسط گشتاور دندانه قسمت ۷ و ۱۲ حذف می‌شود. جمع جبری گشتاور دندانه تمام قسمت‌های استاتور گشتاور دندانه کل را تشکیل می‌دهد که مقدار آن ناچیز می‌باشد.

شکل ۱۶ گشتاور دندانه برای شیار استاتور با زاویه انحرافی متفاوت را نشان می‌دهد و این نتایج از مدل تحلیلی به دست آمده‌اند. مجدداً در روش مورب کردن استاتور نیز گشتاور دندانه به پارامترهای ماشین حساس می‌باشد و هرچه اختلاف زاویه انحرافی شیارها نسبت به مقدار بهینه انحراف (۳۰ درجه) بیشتر باشد بیشینه گشتاور دندانه افزایش می‌یابد.

۴- مقایسه روش‌های بهینه‌سازی استاتور

به منظور مقایسه کارایی روش‌های بهینه‌سازی، کمترین مقدارهای به دست آمده در گشتاور دندانه در روش‌های مختلف با یکدیگر در جدول ۸ مقایسه شده‌اند. T_i بیشینه گشتاور دندانه برای ماشین آهنربای سطحی با اعمال روش‌های معرفی شده و T_e مقدار بیشینه گشتاور دندانه برای ماشین آهنربای سطحی بهینه‌نشده است.

اگرچه روش ایجاد شیار مجازی و زوج کردن دندانه‌ها باعث کاهش یا حذف تعدادی از هارمونیک‌های مرتبه پایین گشتاور دندانه می‌شود ولی دامنه تعدادی از هارمونیک‌های مرتبه بالا افزایش می‌یابد و بنابراین این دو روش نمی‌توانند گشتاور دندانه را حذف کنند ولی دامنه آن را تا حد مطلوبی کاهش می‌دهند. شیار واقعی یا مجازی از ایجاد گشتاور دندانه یکسان است، برای مثال نمودار بهینه گشتاور دندانه ماشین با Q_s شیار

مراجع

- [1] L. Zhu, S. Z. Jiang, and Z. Q. Zhu, "Analytical methods for minimizing cogging torque in permanent magnet machines," *IEEE Trans. on Magn.*, vol. 45, no. 4, pp. 2020-2031, Apr. 2009.
- [2] T. M. Jahns and W. L. Soong, "Pulsating torque minimization techniques for permanent magnet AC motor drives: A review," *IEEE Trans. on Indust. Electronics*, vol. 43, no. 2, pp. 321-330, Apr. 1996.
- [3] D. C. Hanselman, "Effect of skew, pole count and slot count on brushless motor radial force, cogging torque and back EMF," in *Elect. Eng. Proc. Elect. Power Appl.*, vol. 44, no. 5, pp. 325-330, Sep. 1997.
- [4] M. S. Islam and T. Sebastian, "Issues in reducing the cogging torque on mass-produced permanent-magnet brushless DC motor," *IEEE Trans. on Indust. Electronics*, vol. 40, no. 3, pp. 813-820, May/Jun. 2004.
- [5] Z. Q. Zhu and D. Howe, "Influence of design parameters on cogging torque in permanent magnet machines," *IEEE Trans. on Energy Convers.*, vol. 15, no. 4, pp. 407-412, Dec. 2000.
- [6] M. Dai, A. Keyhani, and T. Sebastian, "Torque ripple analysis of a PM brushless DC motor using finite element method," *IEEE Trans. on Energy Convers.*, vol. 19, no. 1, pp. 40-45, Mar. 2004.
- [7] N. Bianchi and S. Bolognani, "Design techniques for reducing the cogging torque in surface mounted PM motors," *IEEE Trans. on Ind. Applicat.*, vol. 38, no. 5, pp. 1259-1265, Sep. 2002.
- [8] S. M. Hwang, *et al.*, "Various design techniques to reduce cogging torque by controlling energy variation in permanent magnet motors," *IEEE Trans. on Magn.*, vol. 37, no. 4, pp. 2806-2909, Jul. 2001.
- [9] S. M. Hwang and J. B. Eom, "Cogging torque and acoustic noise reduction in permanent magnet motors by teeth pairing," *IEEE Trans. on Magn.*, vol. 36, no. 5, pp. 3144-3146, Sep. 2000.
- [10] Y. Lin, Y. Hu, and T. Lin, "A method to reduce the cogging torque of spindle motors," *J. of Magnetism and Magnetic Materials*, vol. 209, no. 1-3, pp. 180-182, Feb. 2000.
- [11] N. Bianchi and S. Bolognani, "Torque harmonic compensation in a synchronous reluctance motor," *IEEE Trans. on Energy Convers.*, vol. 23, no. 2, pp. 466-473, Jun. 2008.
- [12] C. Bianchini and F. Immovilli, "Review of design solutions for internal permanent-magnet machines cogging torque reduction," *IEEE Trans. on Magn.*, vol. 48, no. 10, pp. 2685-2693, Oct. 2012.
- [13] N. Levin, *et al.*, "Methods to reduce the cogging torque in permanent magnet synchronous machines," *Electronica ir Electrotechnika*, vol. 19, no. 1, pp. 23-26, 2013.
- [14] S. Taghipour Boroujeni and V. Zamani, "A novel analytical model for no-load, slotted, surface-mounted PM machines: Air gap flux density and cogging torque," *IEEE Trans. on Magn.*, vol. 51, no. 4, article 8104008, Apr. 2015.
- [15] D. K. Cheng, *Field and Wave Electro Magnetic*, Addison Wesley Publishing Company, 1983.

محمد رضا علیزاده پهلوانی تحصیلات خود را در مقاطع کارشناسی و کارشناسی ارشد مهندسی برق بهترتبی در سال‌های ۱۳۷۷ و ۱۳۸۱ از دانشگاه علم و صنعت تهران و مقطع دکتری مهندسی برق قدرت در سال ۱۳۸۸ از دانشگاه علم و صنعت به پایان رسانده است و هم اکنون استاد دانشکده مهندسی برق دانشگاه صنعتی مالک اشتر تهران می‌باشد. زمینه‌های تحقیقاتی مورد علاقه ایشان عبارتند از: ماشین‌های الکترونیکی، الکترونیک قدرت.

وحید زمانی فرادنیه در سال ۱۳۹۱ مدرک کارشناسی مهندسی برق گرایش الکترونیک و مخابرات دريابي خود را از دانشگاه دریانوردی و علوم دریابي چاههار و در سال ۱۳۹۳ مدرک کارشناسی ارشد مهندسی برق قدرت خود را از دانشگاه شهرکرد دریافت نمود. سال ۱۳۹۲-۱۳۹۴ به عنوان همکار تحقیقاتی با دانشگاه صنعتی مالک اشتر تهران همکاری داشته است. با احراز شرایط ستد بنیاد نخبگان مهندس زمانی فرادنیه به عنوان سرباز نخبه، در قسمت مطالعات و تحقیقات پدافند هوایی خاتمه النیاء ارتش مشغول همکاری می‌باشد. زمینه‌های تحقیقاتی مورد علاقه ایشان عبارتند از: طراحی ماشین‌های الکترونیکی.

جدول پ-۱: نماد متغیرهای به کار رفته در روابط مقاله.

R_{PM}	شعاع مرز میان هوا و آهن‌ربای (mm)
R_s	شعاع داخلی استاتور (mm)
R_o	شعاع بیرونی استاتور (mm)
A	اندازه برداز پتانسیل مغناطیسی (Wb/m)
θ_r	موقعیت روتوور (deg)
h_{slot}	عمق شیار (mm)
γ_k	امین شیار مجازی نسبت به وسط دندانه (deg)
Q_s	تعداد شیارهای استاتور
B_r	مؤلفه شعاعی چگالی شار (T)
B_φ	مؤلفه مماسی چگالی شار (T)
T_{cogg}	گشتاور دندانه (N.m)
h_m	ضخامت آهن‌ربای (mm)
B_{rl}	مؤلفه شعاعی چگالی شار فاصله هوا (T)
B_{rIII}	نسبت کمان آهن‌ربای به کمان قطب
α	زاویه انحرافی هر قسمت استاتور مورب شده
θ_{ss}	دهانه باز شیار مجازی (mm)
b_s	دهانه باز شیار مجازی (mm)
γ	نصف اختلاف طول دو دندانه مجاور در روش زوج کردن دندانه (deg)
N_s	تعداد قسمت‌های استاتور مورب شده
N	تعداد شیار مجازی

افزایش می‌دهد و بنابراین مورب کردن شیار استاتور باعث کاهش جریان عبوری از سیم‌پیچ استاتور شده و در نتیجه توان خروجی ماشین کاهش می‌یابد.

۶- نتیجه‌گیری

در این مقاله سه روش ایجاد شیار مجازی، زوج کردن دندانه‌ها و مورب کردن شیارهای استاتور مورب بررسی قرار گرفت. اساساً کار دو روش ایجاد شیار مجازی و زوج کردن دندانه‌ها در کاهش گشتاور دندانه یکسان است. با مورب کردن شیارهای استاتور گشتاور دندانه به صفر می‌رسد ولی این روش نیز به میزان انحراف شیارها حساس می‌باشد. این روش فرایند تولید را پیچیده‌تر می‌کند و هزینه آن را بالا می‌برد. مورب کردن شیار استاتور تعداد دور مؤثر سیم‌پیچی را کاهش و طول رسانای هر شیار و مقاومت معادل آن را افزایش می‌دهد. ایجاد تغییرات در هندسه استاتور باعث بهبود قابل توجهی در گشتاور دندانه می‌شود. مزیت طراحی استاتور ایجاد شیار مجازی و زوج کردن دندانه‌ها نسبت به طراحی روتوور توان خروجی ماشین تغییر نمی‌کند ولی حساسیت گشتاور دندانه به پارامترهای ماشین در روش طراحی استاتور بالا است و این باعث می‌شود از لحاظ اقتصادی روش طراحی استاتور هزینه‌بر باشد. اگرچه روش مورب کردن شیارهای استاتور گشتاور دندانه را حذف می‌کند ولی این روش توان خروجی ماشین را کاهش می‌دهد.

پیوست

نماد متغیرهای به کار رفته در روابط مقاله در جدول پ-۱ آمده است.